прогрев тел конечных размеров под ДЕЙСТВИЕМ ЛУЧИСТОГО ТЕПЛА

(сообщение второе)

г. п. бойков

Представлено профессором ФУКС Г. И.

В сообщении 1 было показано, что дифференциальное уравнение теплопроводности, описывающее распространение тепла в любых телах

$$\frac{\partial T}{\partial \tau} = a \left(\frac{\partial^2 T}{\partial x^2} + \frac{\partial^2 T}{\partial y^2} + \frac{\partial^2 T}{\partial z^2} \right) \tag{1'}$$

может быть сведено к формуле:

$$\frac{\partial T}{\partial \tau} = \xi \cdot a \cdot \frac{\partial^2 T}{\partial x^2},\tag{2'}$$

Последнее дает возможность определить температурное поле вдоль линии стока тепла в теле при распространении тепла более чем в одном измерении. Так как выражение (1') описывает процесс, протекающий в любых телах, то и дифференциальное уравнение (2') дает температурное поле вдоль линии стока тепла в любом теле, если известна линия стока и значение коэффициента Е.

Таким образом, задача для граничных условий, соответствующих лучистому теплообмену, может быть сформулирована так:

Имеем дифференциальное уравнение теплопроводности:

$$\frac{\partial T(x,\tau)}{\partial \tau} = \xi \cdot \alpha \cdot \frac{\partial^2 T(x,\tau)}{\partial x^2} . \tag{1}$$

Начальное условие:

$$T(x,0) = T_0 \tag{2}$$

Граничное условие:

$$\frac{\partial T(R_1, \tau)}{\partial x} = \frac{\varepsilon_n \cdot C_0}{\lambda} \cdot \left[\left(\frac{T_c}{100} \right)^4 - \left(\frac{T_0}{100} \right)^4 \right] = \frac{g_{c1}}{\lambda} \tag{3}$$

Условие симметрии:

$$\frac{\partial T(0,\tau)}{\partial x} = 0 \tag{4}$$

Можно показать, что выражение:

$$\frac{T(x,\tau)}{T_c} = \frac{T_0}{T_c} + \frac{g_{c1} \cdot R_1}{\lambda \cdot T_c} \cdot \left\{ \xi \cdot \frac{a\tau}{R_1^2} - \left[\frac{\xi}{2(\xi+2)} - \frac{1}{2} \cdot \frac{x^2}{R_1^2} \right] + \sum_{n=1}^{\infty} (-1)^{n+1} \frac{2 \cdot \xi}{\mu_n^2} \cdot \cos\left(\mu_n \frac{x}{R_1}\right) \cdot e^{-\mu_n^2 \xi} \frac{a\tau}{R_1^2} \right\}$$
(5)

ўдовлетворяет дифференциальному ўравнению (1). Для этого продифференцируем его один раз по времени τ и дважды по координате x:

$$\frac{\partial T}{\partial \tau} = \frac{g_{c_1} \cdot R_1}{\lambda} \cdot \left\{ \xi \frac{a}{R_1^2} - \sum_{n=1}^{\infty} (-1)^{n+1} \frac{2\xi}{\mu_n^2} \cdot \cos\left(\mu_n \frac{x}{R_1}\right) \times e^{-\mu_n^2 \xi \frac{a\tau}{R_1^2}} \cdot \mu_n^2 \xi \cdot \frac{a}{R_1^2} \right\}$$

$$(c)$$

$$\frac{\partial^2 T}{\partial x^2} = \frac{g_{c_1} \cdot R_1}{\lambda} \left\{ \frac{1}{R_1^2} - \sum_{n=1}^{\infty} (-1)^{n+1} \frac{2\xi}{\mu_n^2} \cdot \cos\left(\mu_n \frac{x}{R_1}\right) \times e^{-\mu_n^2 \xi \cdot \frac{a\tau}{R_1^2}} \cdot \frac{\mu_n^2}{R_1^2} \right\}$$

$$(d)$$

Подстановка (c) и (d) в уравнение (1) приводит к тождеству.

Для проверки соответствия выражения (5) условиям на границе (3) и условиям симметрии (4) найдем первую производную по x:

$$\frac{\partial T}{\partial x} = \frac{g_{c_1} \cdot R_1}{\lambda} \cdot \left\{ \frac{x}{R_1^2} - \sum_{n=1}^{\infty} (-1)^{n+1} \frac{2\xi}{\mu_n^2} \cdot \sin\left(\mu_n \frac{x}{R_1}\right) \cdot e^{-\mu_n^2 \cdot \xi} \frac{a\tau_1}{R_1^2} \cdot \frac{\mu_n}{R} \right\}.$$

Полагая $x = R_1$, находим:

$$\frac{\partial T(R_1\tau)}{\partial x} = \frac{g_{c1}}{\lambda}$$
, τακ κακ $\sin \mu_n = \sin n\pi = 0$

Полагая далее x = 0, убеждаемся, что

$$\frac{\partial T(o_1\tau)}{\partial x} = 0;$$

Таким образом, выражение (5) строго удовлетворяет дифференциальному уравнению теплопроводности (1), граничным условиям (3) и условиям симметрии (4). Но так как дифференциальное уравнение (1) относится к телам любой формы и размеров, то и написанное соотношение (5) представляет температурное поле вдоль линии стока тепла в различных телах, т. е. претендует на определенную универсальность. Универсальность формулы (5) можно также подтвердить и следующими рассуждениями:

Известно, что начиная с некоторого значения критерия Фурье (приблизительно 0.3 — для неограниченной пластины; 0.25 — для бесконечного цилиндра; 0.2 — для шара) рядом от 1 до ∞ в расчетных формулах можно пренебрегать, т. е. приравнивать его нулю. Тогда расчетные формулы примут более простой вид:

а) Для неограниченной пластины:

$$\Theta = K_i \left\{ F_0 - \left(\frac{1}{6} - \frac{1}{2} \cdot \frac{x^2}{R^2} \right) \right\} \tag{a}$$

б) Для бесконечного цилиндра:

$$\Theta = K_i \left\{ 2F_0 - \left(\frac{1}{4} - \frac{1}{2} \cdot \frac{r^2}{R^2} \right) \right\} \tag{6}$$

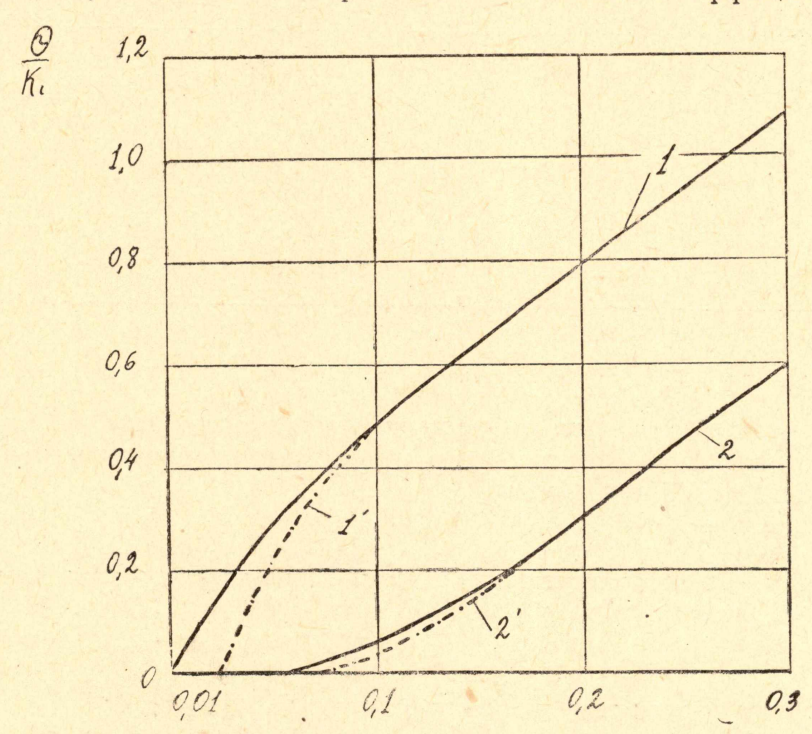
в) Для шара:

$$\Theta = K_i \left\{ 3F_0 - \left(\frac{3}{10} - \frac{1}{2} \cdot \frac{r^2}{R^2} \right) \right\}$$
 (B)

Пренебрегая рядом от 1 до ∞ в формуле (5), перепишем ее в виде:

$$\Theta = K_i \left\{ \xi \cdot F_0 - \left[\frac{\xi}{2(\xi + 2)} - \frac{1}{2} \cdot \frac{x^2}{R^2} \right] \right\}$$
 (5')

Замечаем, что при $\xi=1$ последнее выражение переходит в формулу (а) для неограниченной пластины. При $\xi=2$ (5') превращается в расчетную формулу для бесконечного цилиндра (б). При $\xi=3$ выражение (5') принимает вид расчетной формулы для шара (в). Последнее дает право утверждать, что соотношение (5') является расчетной формулой и для всех промежуточных значений ξ от 1 до 2 и от 2 до 3, т. е. (5') представляет универсальную расчетную формулу для определения температурного поля вдоль линии стока тепла при лучистом прогреве для тел любой формы и размеров. Однако, исследования показали, что зависимость (5) (с учетом ряда от 1 до ∞), удовлетворительно согласуется с начальным условием лишь при малых значениях коэффициента ξ .



Фиг. 1. Прогрев шара при g = Const. Кривые 1 и 2 — изменение безразмерной температуры поверхности и центра шара, построенные по точной формуле (см. [1]). Кривые 1' и 2' построены по формуле (5).

При больших значениях коэффициента ξ (в пределе $\xi=3$) расхождение с начальным условием получается наибольшее. Но эти же исследования показывают (фиг. 1), что даже наибольшее несоответствие начальным условиям, например, при $\xi=3$, очень быстро перестает сказываться на ход расчета. Если исходить из случая, когда $\xi=3$, то можно считать, что предлагаемое расчетное соотношение (5) может быть использовано с достаточной степенью точности при значении критериев Фурье, больших 0,08. Рекомендуемые формулы для ξ приведены в таблице 1.

	Прогреваемое тело	Формула для опр еделения коэффициента ξ
1	Параллелепипед; куб; брус прямо- угольного и квадратного сечення; неограниченная пластина	
2	Цилиндр конечных размеров; бес- конечный цилиндр	$\xi=2+rac{R_1^2}{R_2^2+ extsf{0.5}R_1^2} \ R_1\leqslant R_2$ Измерения $d=2R_1 \ L=2R_2$
3	Диск; неограниченная пластина	$\xi=1+2,5rac{R_1^2}{R_2^2+0,5R_1^2}$ $R_1\leqslant R_2$ Изм $oldsymbol{e}$ рения $L=2R_1$ $d=2R_2$
4	Шар	$\xi = 3$

Формула (5) для m-го момента времени при нагреве тел лучистым теплом, когда теплофизические характеристики меняются в функции от температуры, имеет вид: (см. [2]).

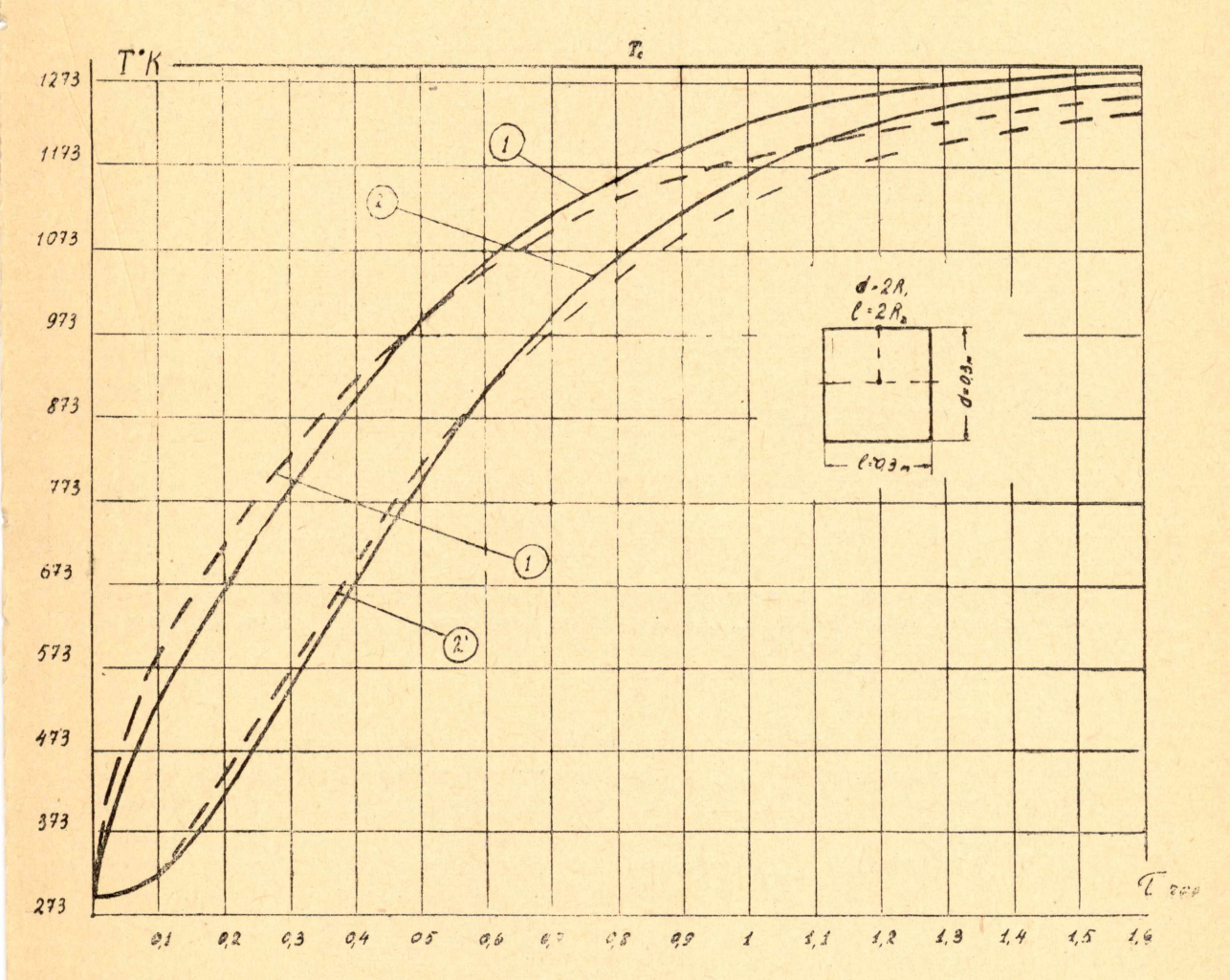
$$\frac{T_{m}(x)}{T_{c}} = \frac{T_{o}}{T_{c}} + \frac{g_{c} \cdot R_{1}}{\lambda_{1} \cdot T_{c}} \cdot \left\{ \xi \cdot \frac{a_{1}\tau_{1}}{R_{1}^{2}} \cdot \sum_{i=1}^{l=m} \frac{g_{ci}}{g_{c}} \cdot \frac{c_{1}}{c_{i}} - \frac{g_{cm}}{g_{c}} \cdot \frac{\lambda_{1}}{\lambda_{m}} \cdot \left[\frac{\xi}{2(\xi+2)} - \frac{1}{2} \cdot \frac{x^{2}}{R_{1}^{2}} \right] + \sum_{n=1}^{\infty} (-1)^{n+1} \frac{2 \cdot \xi}{\mu_{n}^{2}} \cdot \cos\left(\mu_{n} \frac{x}{R_{1}}\right) \cdot \left[\frac{g_{c1}}{g_{c}} \cdot \frac{g_{c1}}{R_{1}^{2}} \right] \cdot e^{-\mu_{n}^{2} \xi} \cdot \sum_{i=1}^{\infty} \frac{a_{i} \tau_{1}}{R_{1}^{2}} \cdot \left[\frac{g_{ci}}{g_{c}} \cdot \frac{\lambda_{1}}{\lambda_{i}} - \frac{g_{c} (i+1) \lambda_{1}}{g_{c} \cdot \lambda(i+1)} \right] \cdot e^{-\mu_{n}^{2} \xi} \sum_{k=1}^{\infty} \frac{a_{(i+k)} \tau_{1}}{R_{1}^{2}} \right\}$$
(6)

Среднюю температуру тела и расчетный интервал времени следует определять, пользуясь соотношениями:

$$\frac{T_m^{cp}}{T_c} = \frac{T_o}{T_c} + \frac{g_c \cdot R_1}{\lambda_1 \cdot T_c} \cdot \xi \cdot \frac{a_1 \tau_1}{R_1^2} \cdot \sum_{i=1}^{\infty} \frac{g_{ci}}{g_c} \cdot \frac{c_1}{c_i};$$
 (7)

$$\tau_1 = \frac{0.022 \cdot \lambda_1 \cdot T_c \cdot R_1}{g_c \cdot \xi \cdot a_1} ; \tag{8}$$

$$\varphi_{m} < 1 - \frac{a_{2}}{a_{1}} \cdot \left\{ 1 - \frac{(\xi + 2) \left(g_{c1} - g_{c2} \cdot \frac{\lambda_{1}}{\lambda_{2}} \right)}{g_{c1} \cdot \left[\xi + 2 \cdot \sum_{n=1}^{\infty} e^{-\mu_{n}^{2} \cdot \xi \cdot \frac{a_{1}\tau_{1}}{R_{1}^{2}}} \right]} \right\}$$
(9)



Фиг. 2. Прогрев стального цилиндра d=0,3 м: 1=0,3 м при $\lambda=30$ ккал/м час. град. a=0,0225 м²/час; $C_{u_{3,4}}=3,65$ ккал/м²час ${}^{\circ}$ К⁴.

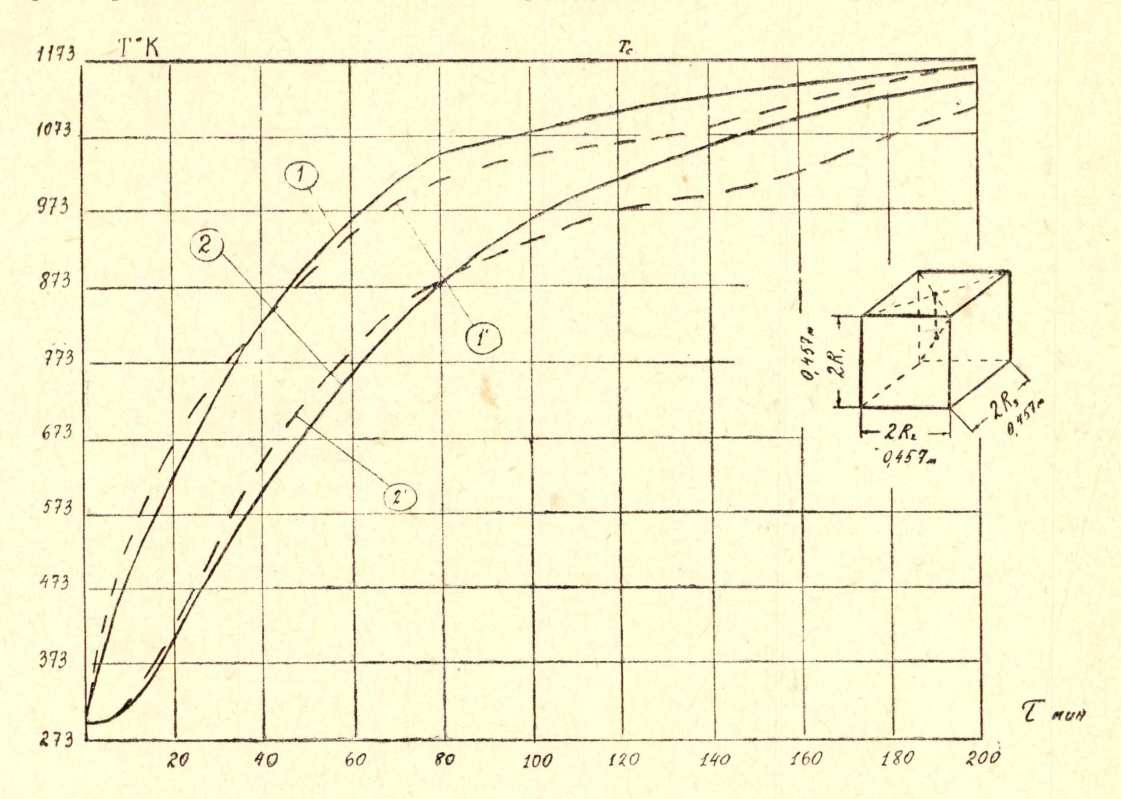
—— Расчетные данные изменения температуры поверхности и центра цилиндра без учета изменения теплофизических характеристик вещества, полученные по формуле (6).

— — тоже по методу перемножения температурных критериев при $\alpha_{uз \Lambda} = 200$ ккал/м²час град.

При $\xi = 1$, 2, 3 выражения (7), (8), (9) переходят в соответствующие формулы для неограниченной пластины, бесконечного цилиндра и шара [2].

Если теплофизические характеристики вещества неизменны, то при

 $c_1 = c_2 = \dots c_i$; $\lambda_1 = \lambda_2 = \dots \lambda_i$; $a_1 = a_2 = \dots a_i$ выражения (6) — (9) перейдут в расчетные формулы для случая, когда теплофизические характеристики не зависят от температуры [2].



Фиг. 3. Прогрев куба из стали (ст. 0,34) со стороной 0,457 м при $\lambda = f(t) \frac{\kappa \kappa a \pi}{\kappa r a c}; C = f(t) \frac{\kappa \kappa a \pi}{\kappa r r c c}; a = f(t) \frac{m^2}{r a c}$

— расчетные данные изменения температуры поверхности и центра куба с учетом изменения теплофизических характеристик вещества, полученные по формуле (6) при $C_{\text{изл}} = 3,6$ ккал/м²час °K4, — — то же по данным опыта [3].

В большинстве практических расчетов значение ряда от 1 до ∞ очень мало по сравнению с двумя первыми слагаемыми в фигурных скобках формулы (6). Поэтому им можно пренебречь. Тогда расчетное соотношение сильно упрощается и принимает вид:

$$\frac{T_m(x)}{T_c} = \frac{T_o}{T_c} + \frac{g_c R_1}{\lambda_1 T_c} \cdot \left\{ \xi \cdot \frac{a_1 \tau_1}{R_1^2} \cdot \sum_{i=1}^{l=m} \frac{g_{ci}}{g_c} \cdot \frac{c_1}{c_i} - \frac{g_{cm}}{g_c} \cdot \frac{\lambda_1}{\lambda_m} \cdot \left[\frac{\xi}{2(\xi+2)} - \frac{1}{2} \cdot \frac{x^2}{R_1^2} \right] \right\}$$
(6')

При указанном условии формула (6') является математически точным расчетным соотношением для тел любой формы и размеров. В частности при $\xi = 1, 2, 3$ она переходит в формулы для неограниченной пластины, бесконечного цилиндра, шара (см. [2]).

На фиг. 2 показан прогрев стального цилиндра диаметром d=0,3 м и длиной l=0,3 м. Кривая l (изменение температуры поверхности) и кривая l (центра) построены по формуле l при неизменных теплофи-

зических характеристиках вещества. Кривые 1' и 2' построены для тех же условий методом перемножения температурных критериев при

$$a_{u3A} = 200 \frac{\kappa \kappa a \Lambda}{M^2 4ac \ rpad}$$

На фиг. 3 показан прогрев стального куба со стороной 0,457 м. Кривая 1 (изменение температуры поверхности) и кривая 2 (центра) построены по формуле (6) с учетом изменения теплофизических характеристик вещества в функции от температуры. Кривые 1' и 2' построены по данным опыта [3].

ЗАКЛЮЧЕНИЕ

- 1. Распределение температурного поля вдоль линии стока тепла в телах различной конечной формы может быть представлено одной формулой, не отличающейся по сложности от решения для одномерной задачи.
- 2. Расчетные соотношения (6) (9) могут быть рекомендованы, как приближенные формулы для определения температурного поля вдоль линии стока тепла в телах различной формы при прогреве их под действием лучистого тепла. Предложенные выражения применимы при $F_0 > 0.08$.

ЛИТЕРАТУРА

1. А. В. Лыков — Теория теплопроводности, ГИТТЛ, М., 1952.

2. Г. П. Бойков — Прогрев тел под действием лучистого тепла, (Изв. ТПИ,

том 89, 1957), Томск. 3. В. Н. Соколов — Расчет нагрева металла методом сеток, ЦНИИМАШ (Нагрев крупных слитков), ГНТИМЛ, М., 1954.